







Les apports du numérique dans l'analyse physicochimique de produits alimentaires : la chimiométrie.

De la stratégie expérimentale à l'analyse de données : intelligence naturelle , intelligence artificielle ?







Co-funded by the Horizon 2020 Framework Programme of the European Union under the grant N° 952306

Yohann Clément & Pierre Lantéri







### Le Rôle de la Chimiométrie dans les Sciences Analytiques

- ➤ Participer à la stratégie expérimentale pour structurer l'expérimentation (PEX)
- ➤ Participer à l'acquisition des données souvent complexes issues d'une ou plusieurs techniques analytiques
- > Traiter les données brutes pour optimiser la matrice des données
- > Traitement de l'information / résultats/ enrichissement de bases de données

### Origine des données

Données Issues d'essais structurés a priori?









Plans d'Expériences

Analyse de Données

### Analyse de données

Variables explicatives et à expliquer séparées :







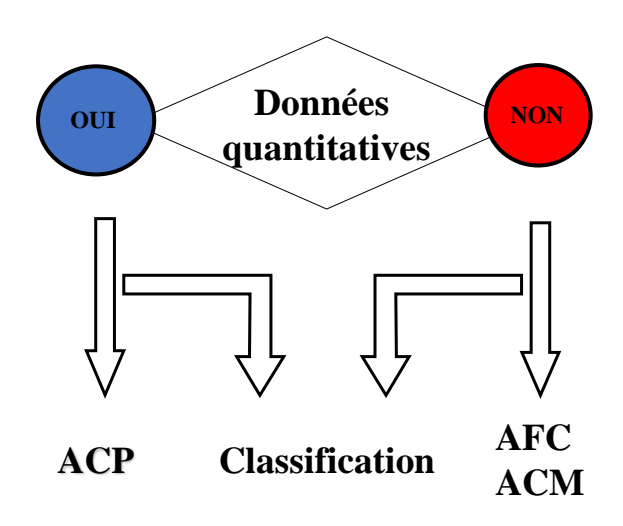


Méthodes explicatives

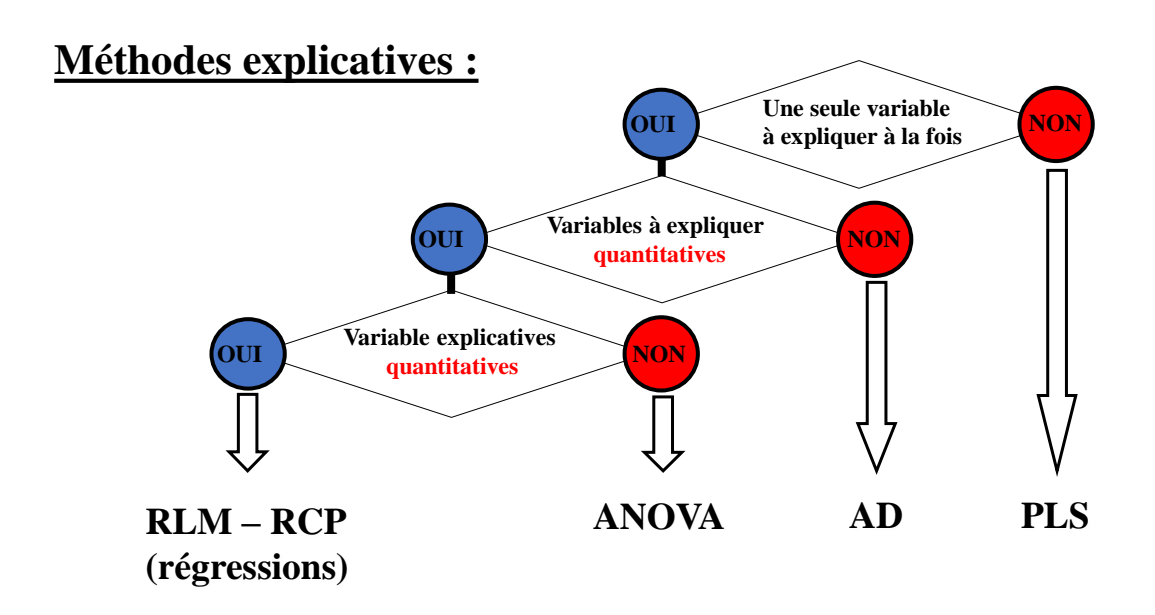
Méthodes descriptives

### Analyse de données

### **Méthodes Descriptives :**



### Analyse de données



| Thème                            | Domaines  | Méthodes/Outils   |
|----------------------------------|---|---|
| Analyses<br>de<br>Données        | Analyses NIR, IR-FT, UV, Propriétés Physicochimiques Chromatographies HPLC,GC Spectrométrie Masse, RMN Environnement, Santé, Matériaux, | <ul> <li>- Analyses Statistiques,</li> <li>- Analyse Factorielle</li> <li>- Analyse en composantes principales (PCA)</li> <li>-Régressions RLM/PCR/PLS,</li> <li>-Réseaux neuronaux</li> <li>-QSAR/QSPR: Relation</li> <li>Structures- Activité, Propriétés,</li> </ul> |
| Calibration/<br>Etalonnage       | Spectroscopie : UV, IR-FT, NIR<br>Chromatographies<br>Analyses chimiques  | -Régressions MLR, PCR, PLS<br>-Réseaux neuronaux<br>-PCA  |
| Classification                   | Identification<br>Adultération<br>Contrôle qualité<br>Métabolomique   | - Réseaux neuronaux<br>- PCA<br>- Analyse Discriminante<br>- K means  |
| « intelligence<br>artificielle » | Analyses Chimiques, pH métrie,<br>QSAR, Etalonnage, Spectrométrie,<br>PLS/calibration   | -Réseaux neuronaux<br>-Système flou<br>-Algorithme Génétique  |

<u>RMN</u>

#### Les données: de l'acquisition au traitement Gestion de contraintes <u>Criblage</u> Surface de réponse <u>Mélange</u> Algorithmes d'échanges Hadamard Plan composite Simplex **ASCA** Factorielle Réseau de Dohlert Réseau de Scheffé Fractionnaire Box Behnken Space Filling Design Spectrométrie de masse Spectroscopie IR - RAMAN Spectroscopie RMN Chromato. **Spectroscopie** Chromatographies, Spectrométrie de masse

Traitement des données

couplages

8

Expérimentales

Stratégies

Acquisitions analytiques

<u>vibrationnelle</u>

#### **OUTILS CHIMIOMETRIQUES** en forme <u>Filtrage</u> Changement d'échelles **Transformation Normalisation** Alignement de variables Log10 Centrage Correction de ligne de 1/T. ... Standardisation ... base. ... **Modelisation** Multi-blocks method **Machine Learning Univarite Tests** <u>Description</u> SVM PLS AFM t-student PCA PLS-DA PARAFAC Ramdom Forest Correlation ICA OPLS COMDIM Réseaux de neurones X voriate 1: 39% expl. vor 4 2 0 -2 variate 3: 19% expl. vo 0 PC1: 40% expl. var

### Analyse en composante Principale ACP

### Analyse en Composantes Principales (ACP):

A partir d'un jeu de données contenant un très grand nombre de variables, on désire connaître lesquelles sont les plus importantes, et comment réduire ce jeu de données afin de le représenter de manière simple sur 2 ou 3 axes.

L'ACP est une méthode de réduction de dimension qui va permettre de transformer des variables très corrélées en nouvelles variables décorrélées les unes des autres.

Il s'agit de résumer l'information qui est contenue dans une base de données en un certain nombre de variables synthétiques appelées : **Composantes principales**. L'idée est ensuite de pouvoir projeter ces données sur l'hyperplan le plus proche afin d'avoir une représentation simple de nos données.

Qui dit réduction de dimension dit perte d'informations. C'est là tout l'enjeu que représente une Analyse en Composantes principales. Il faut pouvoir réduire la dimension de nos données tout en conservant un maximum d'informations.

### Analyse en composante Principale ACP

### L'ACP est une méthode exploratoire / descriptive

- Exploration / description de données multivariées avec de grandes dimensions.
- Elle permet la détermination des liens entre variables, l'identification des similitudes entre individus ou la mise en évidence de valeurs aberrantes ...
- Elle permet la préparation / réduction ou nettoyage des données avant une nouvelle analyse chimiométrique.
- Elle peut préparer à une future modélisation comme la Régression sur Composantes Principales (PCR)

### Analyse en Composante Principales : résumé de la méthode

Collecte des donnés



Prétraitement des données : Normalisation, Centrage ...



Calculs de l'ACP:

Représentation matricielle

Calculs des valeurs propres et vecteurs propres de la matrice de corrélation



Sélection d'un nombre réduit de Composantes Principales (PC) Représentations graphiques dans un espace de quelques dimensions (2,3...) Projections des individus (scores) et des variables (loadings)

## Analyse de miels à l'aide la chimiométrie Analyse en Composante Principale (ACP)

13

### Analyse de miels monofloraux

Analyse des miels : détermination de l'origine florale?

Amino acides

Acide Gluconique

Sucres:
Fructose,
Glucose, ...

Variétés de miel
Acacia
Châtaignier
Lavande
Sapin
Tournesol

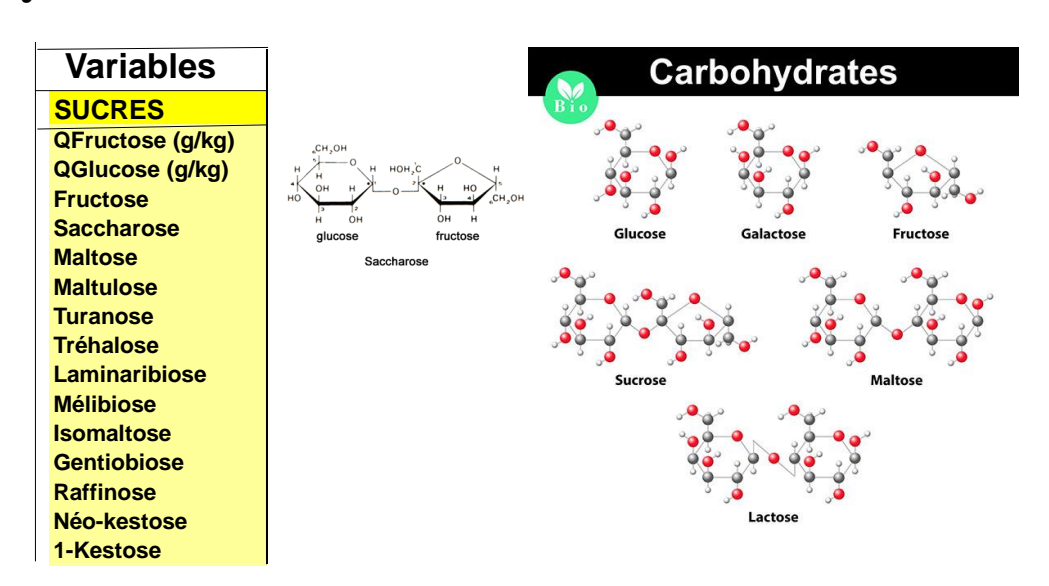


### Analyse de miels monofloraux

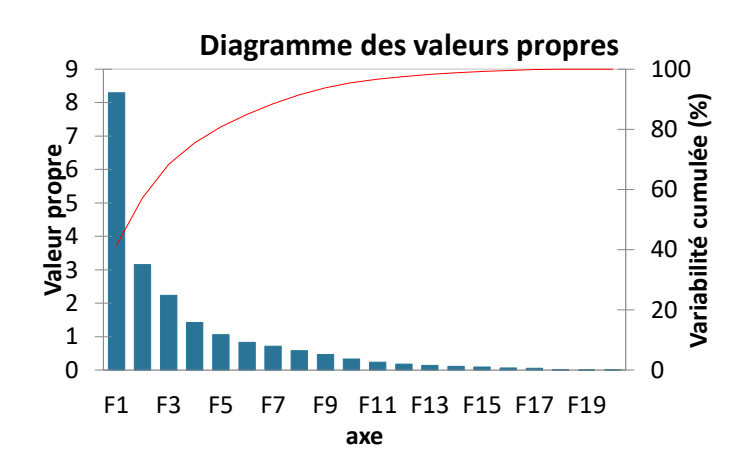
Les descripteurs mesurés et dosés sont :

- Les sucres
- Les acides aminés

### Analyse de miels monofloraux – ACP- sucres



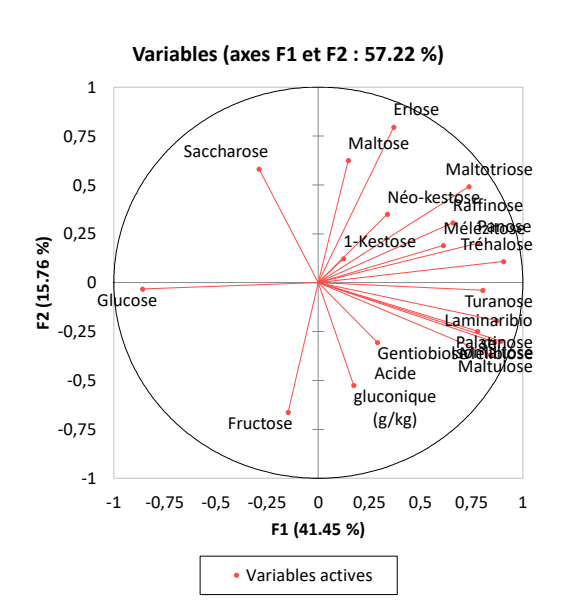
## Analyse de miels monofloraux – ACP -Sucres

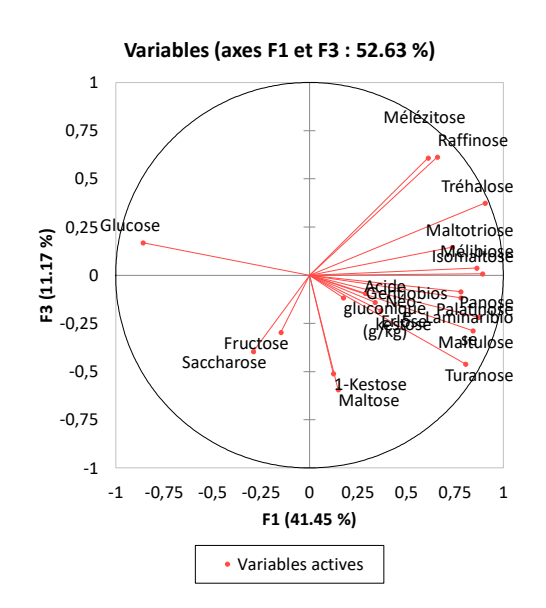


|                 | F1   | F2   | F3   | F4   | F5   |
|-----------------|------|------|------|------|------|
| Valeur propre   | 8,2  | 3,1  | 2,2  | 1,4  | 1,0  |
| Variabilité (%) | 41,4 | 15,7 | 11,1 | 7,1  | 5,2  |
| % cumulé        | 41,4 | 57,2 | 68,3 | 75,4 | 80,7 |

### Analyse de miels monofloraux – ACP - Sucres

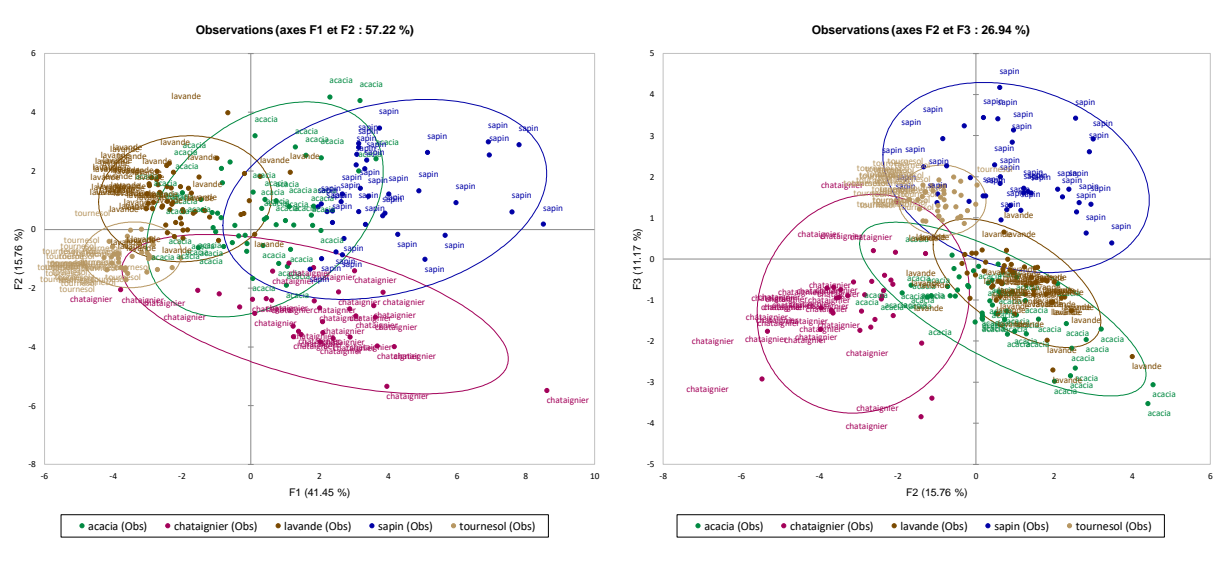
Projection des variables (loadings)





## Analyse de miels monofloraux – ACP - Sucres

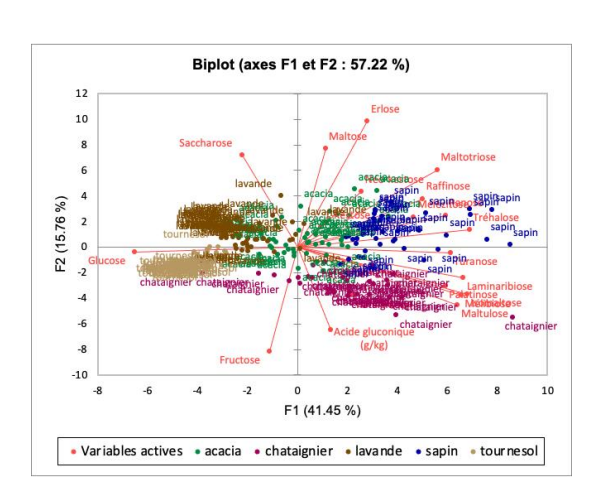
Projection des individus (scores) :

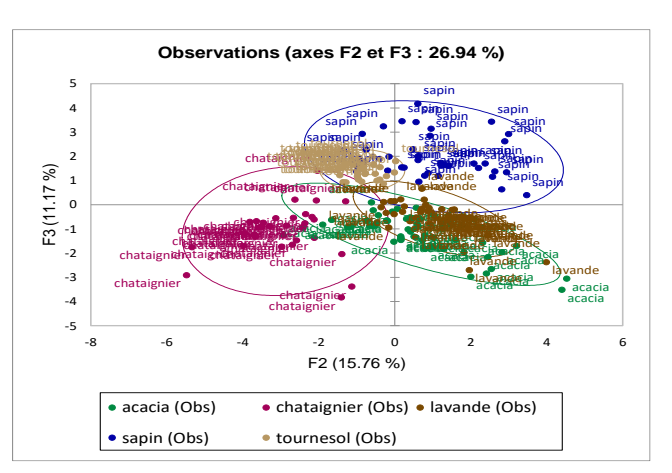


19

### Analyse de miels monofloraux – ACP -Sucres

Biplot – projection sur le même graphique des variables et des individus (scores et des loadings):



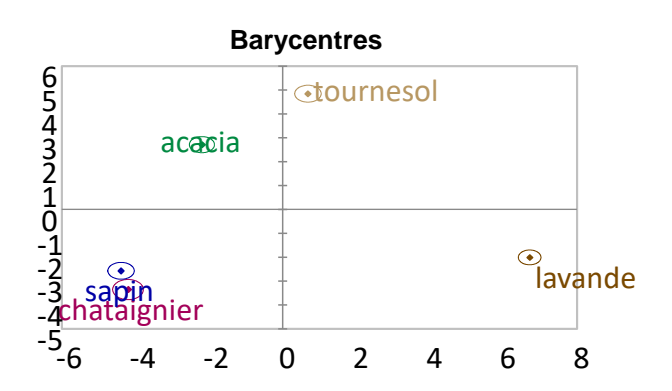


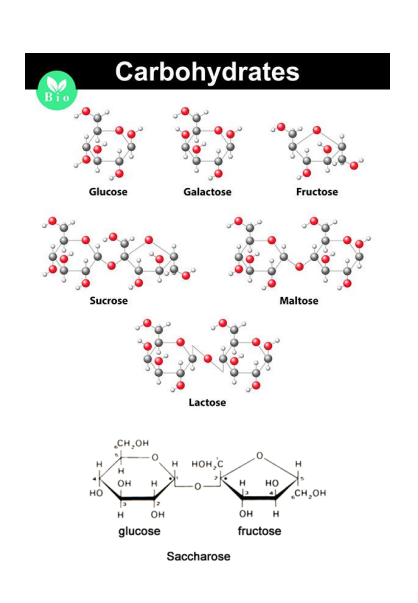
20

## Analyse des miels monofloraux: ANALYSE DISCRIMINANTE (AD) via les sucres

21

## Analyse de miels monofloraux – AD - Sucres





22

### Analyse de miels monofloraux – AD - Sucres

Jeu de données divisée en deux: Un jeu d'apprentissage et un jeu de validation externe

| Matrice de d | onfusion p | our l'échant | illon d'apprentissage : |       |           |       |           |
|--------------|------------|--------------|-------------------------|-------|-----------|-------|-----------|
| de \ à       | acacia     | chataignier  | lavande                 | sapin | tournesol | Total | % correct |
| acacia       | 35         | 0            | 0                       | 0     | 1         | 36    | 97,22%    |
| chataignier  | 0          | 22           | 0                       | 0     | 1         | 23    | 95,65%    |
| lavande      | 0          | 0            | 41                      | 0     | 1         | 42    | 97,62%    |
| sapin        | 0          | 0            | 0                       | 30    | 0         | 30    | 100,00%   |
| tournesol    | 0          | 0            | 0                       | 0     | 25        | 25    | 100,00%   |
| Total        | 35         | 22           | 41                      | 30    | 28        | 156   | 98,08%    |

| Matrice de c | onfusion p |             |         |       |           |       |           |
|--------------|------------|-------------|---------|-------|-----------|-------|-----------|
| de∖à         | acacia     | chataignier | lavande | sapin | tournesol | Total | % correct |
| acacia       | 11         | 0           | 0       | 0     | 0         | 11    | 100,00%   |
| chataignier  | 0          | 10          | 0       | 0     | 0         | 10    | 100,00%   |
| lavande      | 0          | 0           | 10      | 0     | 1         | 11    | 90,91%    |
| sapin        | 0          | 0           | 0       | 7     | 0         | 7     | 100,00%   |
| tournesol    | 0          | 0           | 0       | 0     | 11        | 11    | 100,00%   |
| Total        | 11         | 10          | 10      | 7     | 12        | 50    | 98,00%    |

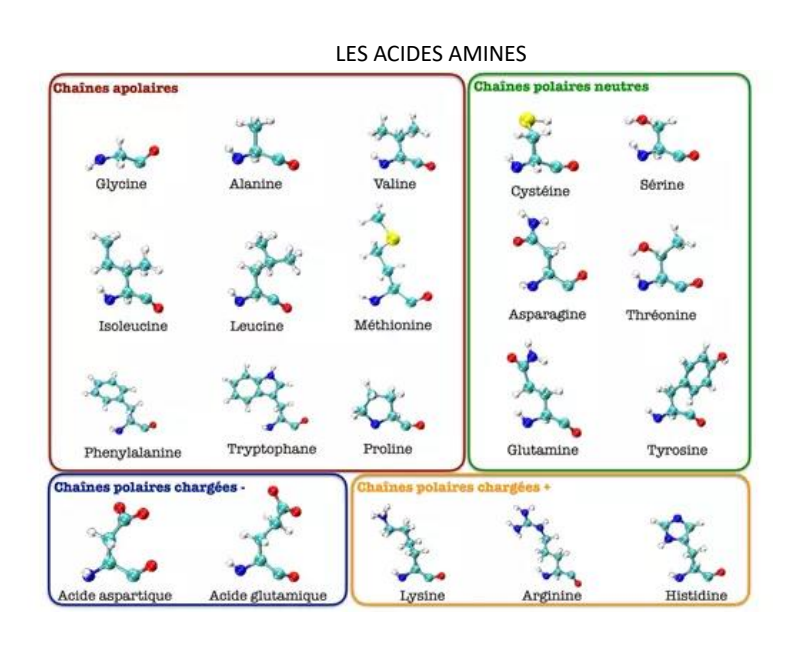
### Analyse de miels monofloraux – AD - Sucres

Jeu de données monobloc: validation par validation croisée

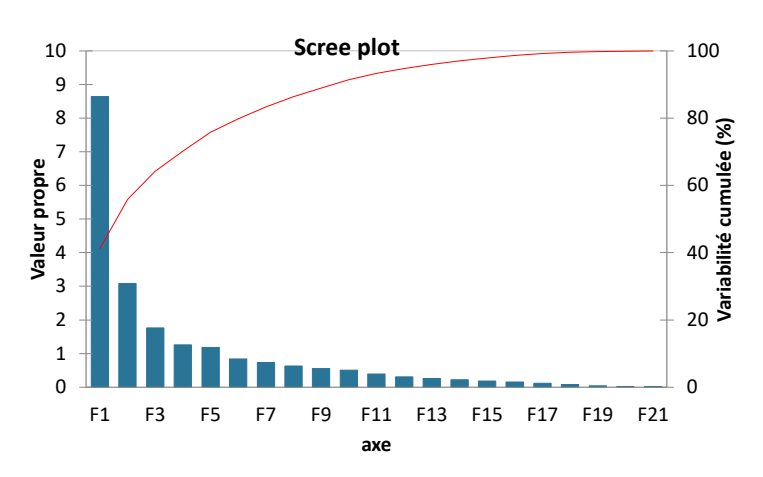
| Matrice de co | nfusion pour | les résultats d |         |       |           |       |           |
|---------------|--------------|-----------------|---------|-------|-----------|-------|-----------|
| de \ à        | acacia       | chataignier     | lavande | sapin | tournesol | Total | % correct |
| acacia        | 34           | 0               | 1       | 0     | 1         | 36    | 94,44%    |
| chataignier   | 0            | 22              | 0       | 0     | 1         | 23    | 95,65%    |
| lavande       | 0            | 0               | 41      | 0     | 1         | 42    | 97,62%    |
| sapin         | 0            | 0               | 0       | 30    | 0         | 30    | 100,00%   |
| tournesol     | 0            | 0               | 0       | 0     | 25        | 25    | 100,00%   |
| Total         | 34           | 22              | 42      | 30    | 28        | 156   | 97,44%    |

### Analyse de miels monofloraux – Acides Aminés

### **Variables ACIDES AMINES** a aspartique a glutamique asparagine sérine glutamine histidine glycine thréonine alanine arginine valine phénylalanine isoleucine leucine lysine



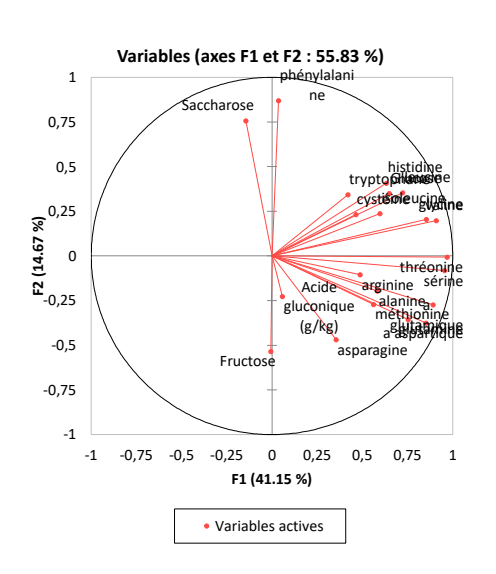
## Analyse de miels monofloraux – ACP – Acides Aminés

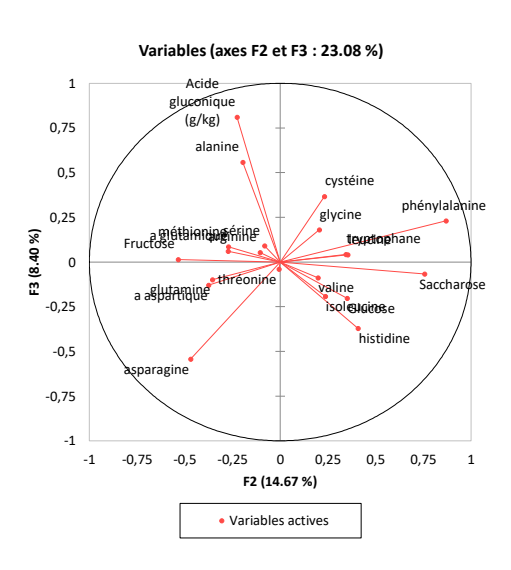


|                 | F1   | F2   | F3   | F4   | F5   |
|-----------------|------|------|------|------|------|
| Valeur propre   | 8,6  | 3,0  | 1,7  | 1,2  | 1,1  |
| Variabilité (%) | 41,1 | 14,6 | 8,4  | 5,9  | 5,6  |
| % cumulé        | 41,1 | 55,8 | 64,2 | 70,2 | 75,8 |

### Analyse de miels monofloraux – ACP- Acides Aminés

### Projection des variables:

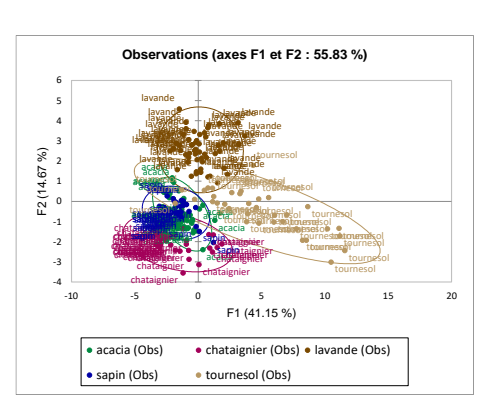


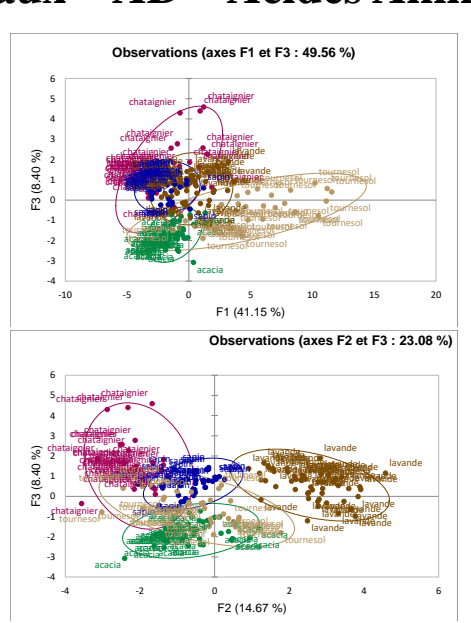


27

### Analyse de miels monofloraux – AD – Acides Aminés

### Projection des individus:



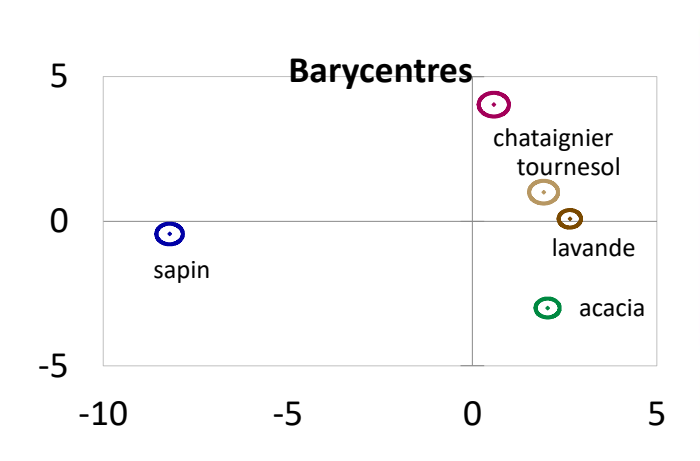


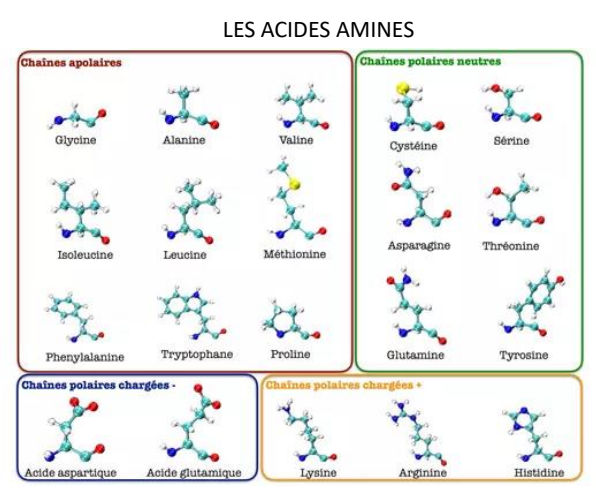
28

## Analyse des miels monofloraux: ANALYSE DISCRIMINANTE (AD) via les acides aminés

29

### Analyse de miels monofloraux – AD- Acides Aminés





## Analyse de miels monofloraux – AD- Acides Aminés

| Matrice de  | Matrice de confusion pour l'échantillon d'apprentissage : |             |         |       |           |       |           |
|-------------|---|-------------|---------|-------|-----------|-------|-----------|
| de∖à        | acacia  | chataignier | lavande | sapin | tournesol | Total | % correct |
| acacia      | 38  | 0           | 0       | 0     | 0         | 38    | 100,00%   |
| chataignier | 0   | 26          | 0       | 0     | 0         | 26    | 100,00%   |
| lavande     | 0   | 0           | 36      | 0     | 0         | 36    | 100,00%   |
| sapin       | 0   | 0           | 0       | 28    | 0         | 28    | 100,00%   |
| tournesol   | 0   | 0           | 0       | 0     | 28        | 28    | 100,00%   |
| Total       | 38  | 26          | 36      | 28    | 28        | 156   | 100,00%   |

| Matrice de  | confusion p | our l'échant | illon de validation : |       |           |       |           |
|-------------|-------------|--------------|-----------------------|-------|-----------|-------|-----------|
| de∖à        | acacia      | chataignier  | lavande               | sapin | tournesol | Total | % correct |
| acacia      | 8           | 0            | 0                     | 0     | 1         | 9     | 88,89%    |
| chataignier | 1           | 6            | 0                     | 0     | 0         | 7     | 85,71%    |
| lavande     | 0           | 0            | 17                    | 0     | 0         | 17    | 100,00%   |
| sapin       | 0           | 0            | 0                     | 9     | 0         | 9     | 100,00%   |
| tournesol   | 0           | 0            | 0                     | 0     | 8         | 8     | 100,00%   |
| Total       | 9           | 6            | 17                    | 9     | 9         | 50    | 96,00%    |

## Analyse de miels monofloraux – AD- Acides Aminés

| Matrice de  | atrice de confusion pour les résultats de la validation croise |             |         |       |           |       |           |
|-------------|--|-------------|---------|-------|-----------|-------|-----------|
| de∖à        | acacia   | chataignier | lavande | sapin | tournesol | Total | % correct |
| acacia      | 38   | 0           | 0       | 0     | 0         | 38    | 100,00%   |
| chataignier | 0  | 26          | 0       | 0     | 0         | 26    | 100,00%   |
| lavande     | 0  | 0           | 35      | 0     | 1         | 36    | 97,22%    |
| sapin       | 0  | 0           | 1       | 27    | 0         | 28    | 96,43%    |
| tournesol   | 0  | 0           | 0       | 0     | 28        | 28    | 100,00%   |
| Total       | 38   | 26          | 36      | 27    | 29        | 156   | 98,72%    |

# Méthodes analytiques pour le contrôle de l'authenticité

33











Développement de méthodes analytiques et de banques de données pour le contrôle de l'authenticité de métabolites secondaires actifs issus de plantes aromatiques et médicinales

> Thèse présentée par Aurélien CUCHET Encadrée par : Dr. Hervé CASABIANCA et M. Patrick JAME





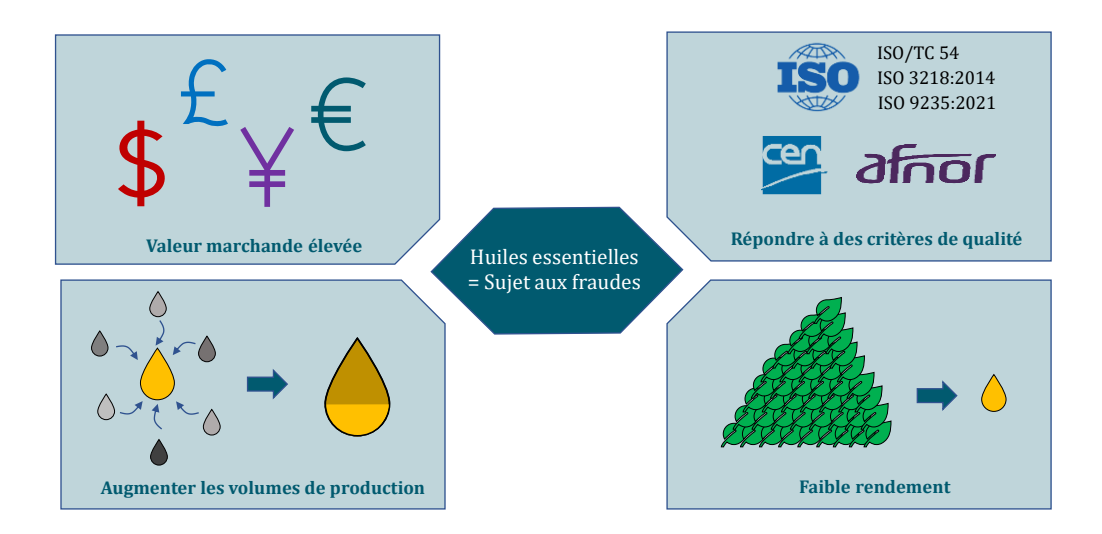


### Présentation des extraits aromatiques naturels



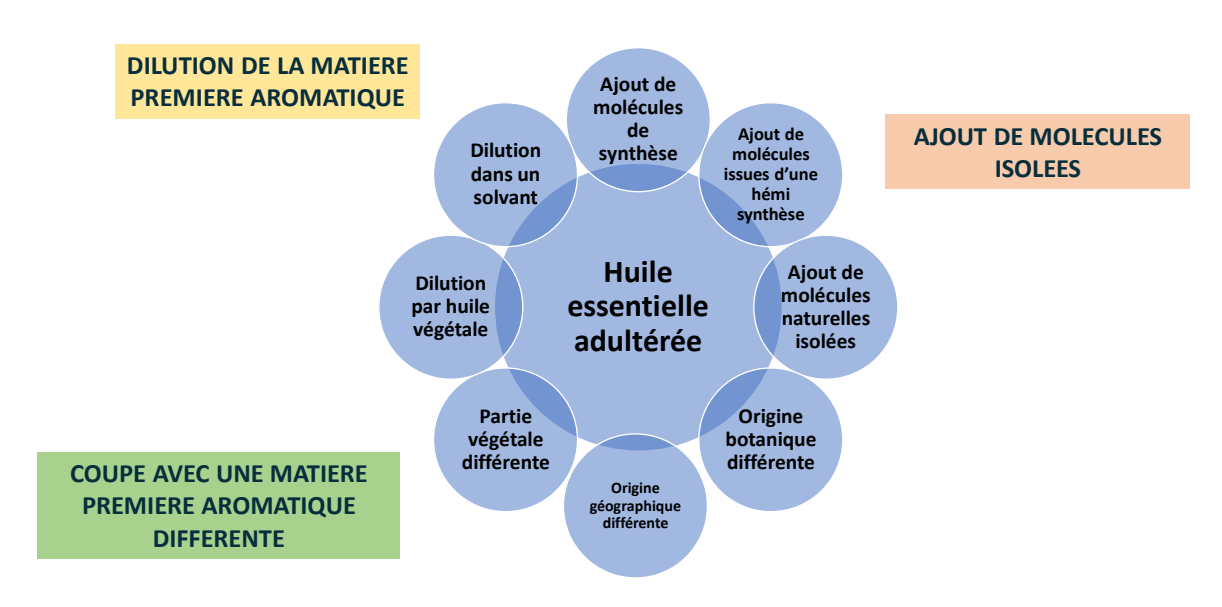
35

### Les huiles essentielles sont la cible de nombreuses fraudes



36

# Multiples adultérations potentielles



37

### Contrôle des huiles essentielles

# Techniques classiques

### Exemples:

- Analyses par GC-FID et GC-MS
- Contrôles olfactifs
- Tests physicochimiques

### Techniques avancées Combinaison de techniques

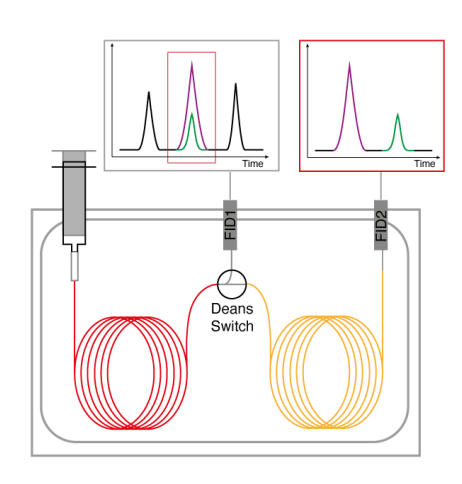
### Exemples:

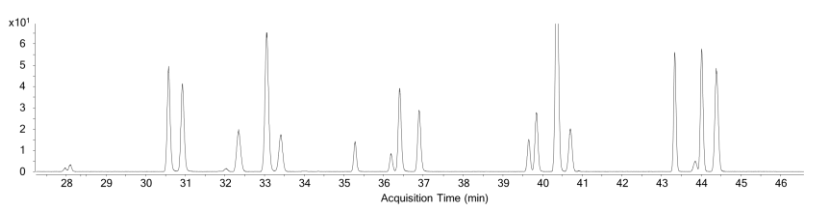
- Mise en évidence d'impuretés
- Analyses énantiosélectives
- Analyses isotopiques

38

# **ANALYSES ENANTIOSELECTIVES**

Développement de méthodes GC multidimensionnelles



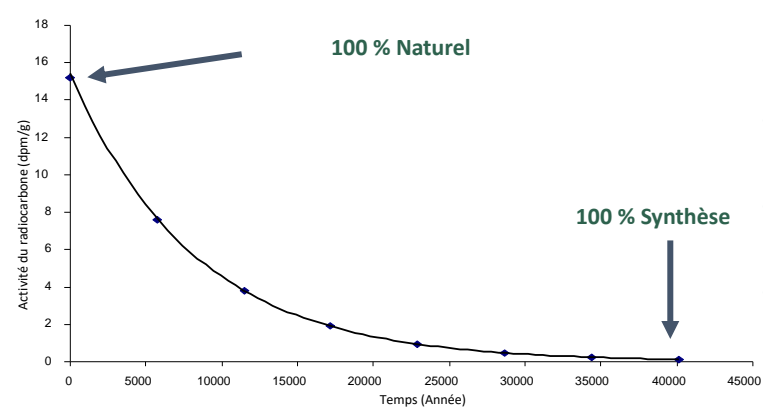


- Détection d'ajouts de synthèse (Mélange racémique)
- Mise en évidence de coupe entre huiles essentielles (Différences de profils énantiomériques)

39

# **ANALYSES ISOTOPIQUES**

### ☐ Analyse des isotopes radioactifs: détermination de l'activité du <sup>14</sup>C



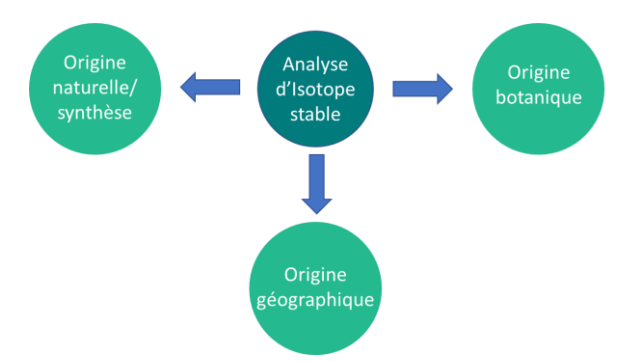
L'activité radioactive est mesurée en désintégration par minute et par gramme de carbone (dpm/g).

# L'authentification de la naturalité peut être réalisée en mesurant l'activité du <sup>14</sup>C

- 100% de carbone bio-sourcé -> Produit 100% naturel.
- 0% de carbone bio-sourcé -> Produit d'origine pétrochimique.
- Valeur comprise entre 0% et 100% -> Mélange d'un produit d'origine naturelle et d'origine synthétique.

# **ANALYSES ISOTOPIQUES**

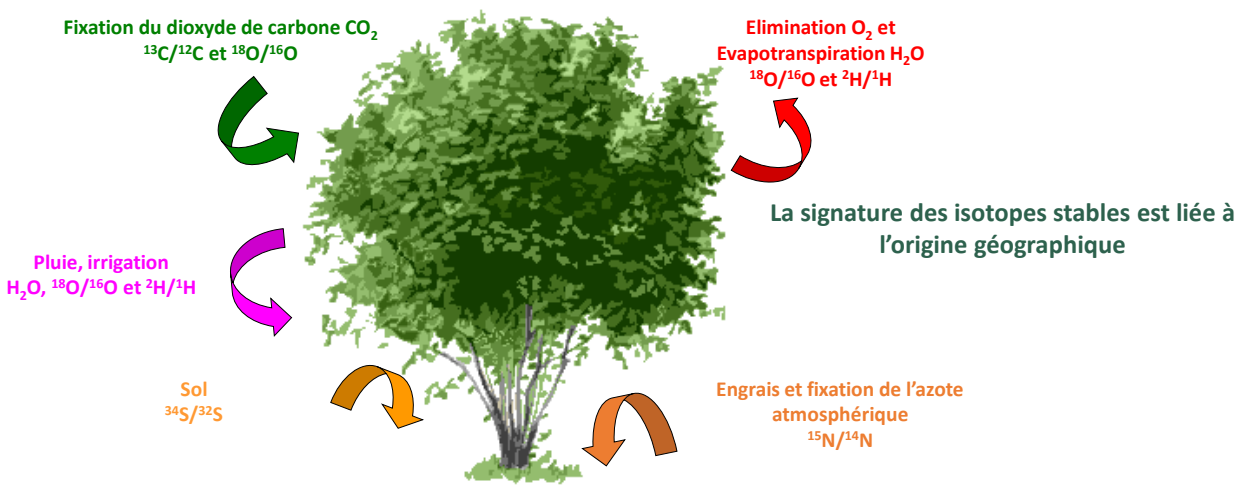
- ☐ Analyse des isotopes radioactifs: détermination de l'activité du <sup>14</sup>C
- ☐ Analyse des ratios isotopiques stables (¹³C/¹²C; ²H/¹H; ¹80/¹60, ³⁴S/³²S)
  - L'évaluation du rapport isotopique stable conduit à distinguer les molécules synthétiques et naturelles
  - Les isotopes stables sont utilisés comme marqueurs géographiques et variétaux



41

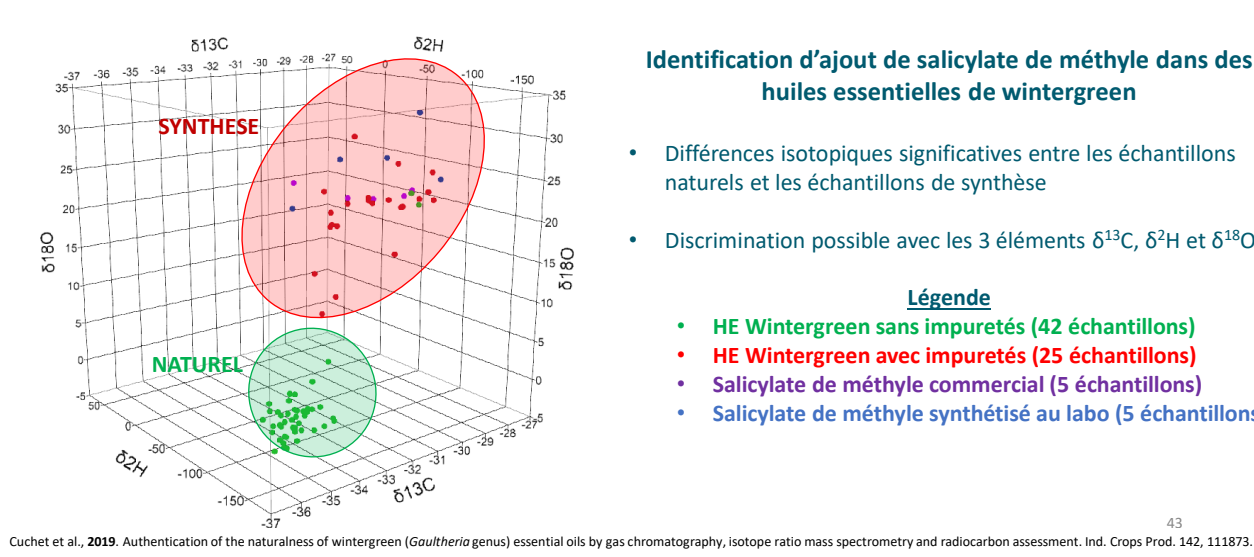
### **ANALYSE DES ISOTOPES STABLES**

Harmonie entre le métabolisme de la plante et son environnement



42

# EXEMPLE ETUDE DE L'HUILE ESSENTIELLE DE GAULTHÉRIE (Gaultheria) Analyse isotopique globale par EA-C/P-IRMS



### Identification d'ajout de salicylate de méthyle dans des huiles essentielles de wintergreen

- Différences isotopiques significatives entre les échantillons naturels et les échantillons de synthèse
- Discrimination possible avec les 3 éléments  $\delta^{13}$ C,  $\delta^{2}$ H et  $\delta^{18}$ O

### Légende

- HE Wintergreen sans impuretés (42 échantillons)
- HE Wintergreen avec impuretés (25 échantillons)
- Salicylate de méthyle commercial (5 échantillons)
- Salicylate de méthyle synthétisé au labo (5 échantillons)

# **ETUDE DES HUILES ESSENTIELLES D'ALLIACÉES (Allium)**Problème de pureté



Huile essentielle d'échalote



Huile essentielle de poireau



Huile essentielle de ciboulette



Huile essentielle d'oignon

Composition de ces huiles essentielles similaires Différences de prix importantes entre les origines botaniques

Comment différencier ces huiles essentielles ?
Discrimination botanique par analyse isotopique multi-éléments multi-composés

44

Cuchet et al., 2021. Multi-element (13C, 2H and 34S) bulk and compound-specific stable isotope analysis for authentication of Allium species essential oils. Food Control. 126, 108086.

# **ETUDE DES HUILES ESSENTIELLES D'ALLIACÉES (Allium)**Problème de pureté



Extraction des huiles essentielles d'alliacées Utilisation en agroalimentaire

Famille des *Allium*Oignons, poireaux, échalotes, ciboulettes

Composition de l'huile essentielle complexe avec de nombreux organosulfures

S S Trisulfure de dipropyle DPTS

Mesures isotopiques ciblées des principaux metabolites organosulfurés 3 ratios isotopiques d'intérêt:  $\delta^{13}$ C,  $\delta^{2}$ H et  $\delta^{34}$ S

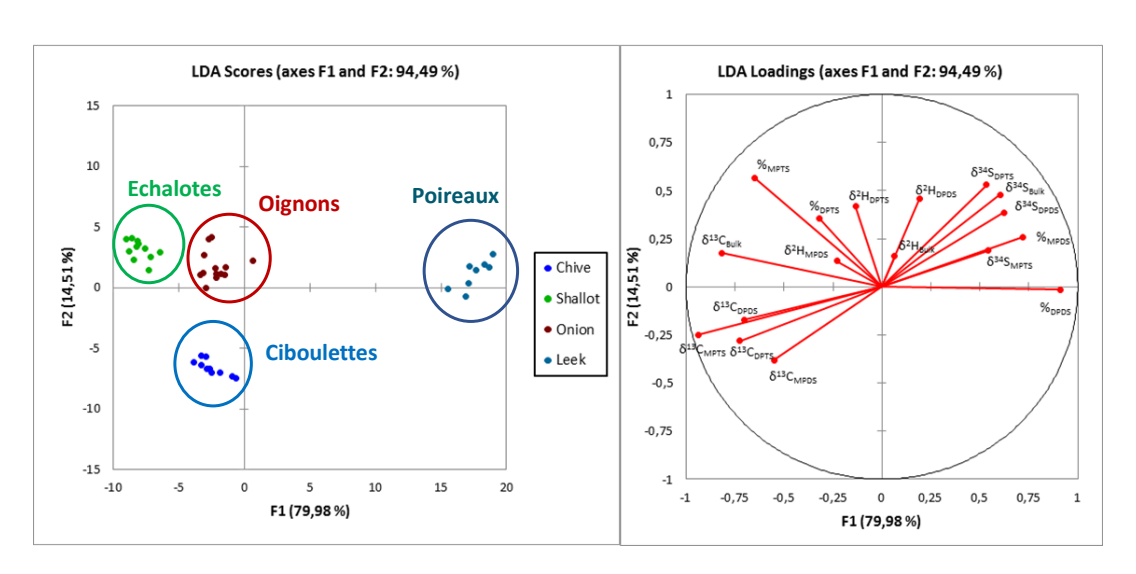


S Disulfure de méthyle propyle MPDS

45

Cuchet et al., 2020. Apport de l'analyse multi-isotopes pour l'authentification des huiles essentielles.. Annales des falsifications, de l'expertise chimique et toxicologique. 992, 58-70.

# **ETUDE DES HUILES ESSENTIELLES D'ALLIACÉES (Allium)**Discrimination botanique par analyses chimiométriques



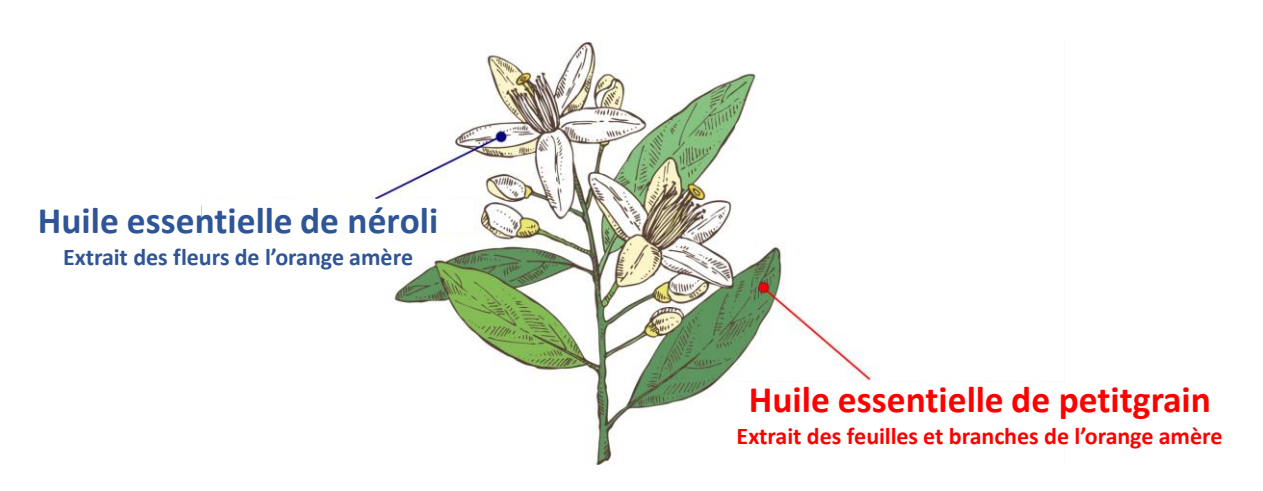
46

Cuchet et al., 2021. Multi-element (13C, 2H and 34S) bulk and compound-specific stable isotope analysis for authentication of Allium species essential oils. Food Control. 126, 108086

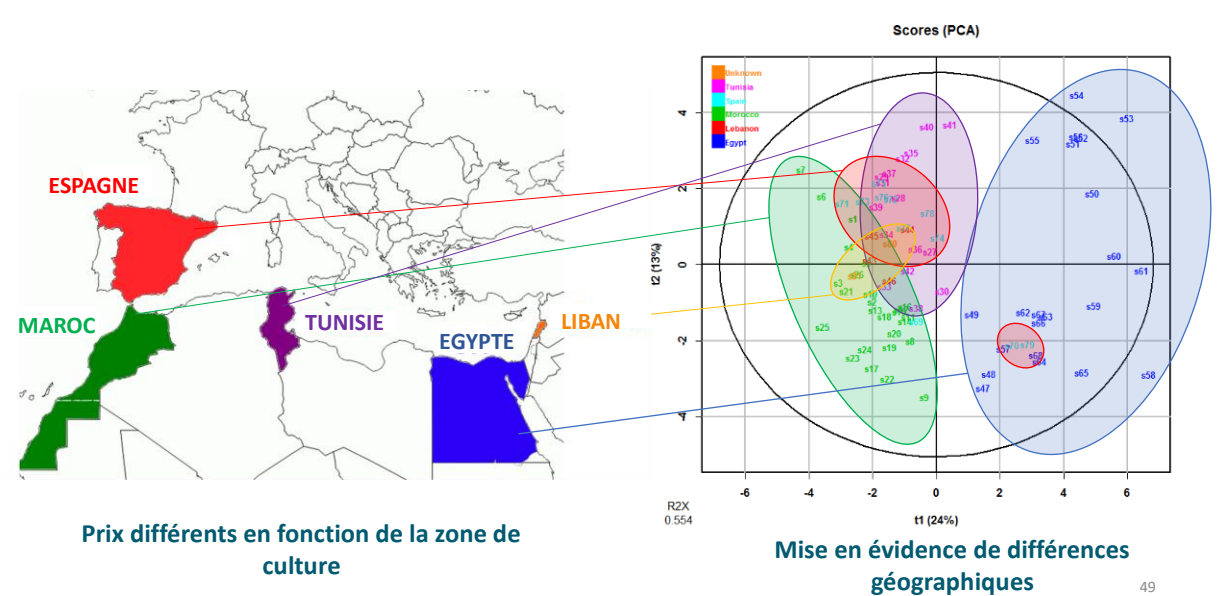
# Analyse discriminante des Alliacés

| Confusion matrix for the estimation sample: |                |          |        |         |       |           |
|---|----------------|----------|--------|---------|-------|-----------|
| f.,,,,, \ ,,,                               | Cile a viladda | C-11-+-  | 0:     | D - :   | T-4-1 | 0/        |
| from \ to                                   | to Ciboulette  |          | Oignon | Poireau | iotai | % correct |
| Ciboulette                                  | oulette 7      |          | 0      | 0       | 7     | 100,00%   |
| Echalote                                    | 0              | 4        | 0      | 0       | 4     | 100,00%   |
| Oignon                                      | 0              | 0        | 5      | 0       | 5     | 100,00%   |
| Poireau                                     | 0              | 0        | 0      | 6       | 6     | 100,00%   |
| Total                                       | 7              | 4        | 5      | 6       | 22    | 100,00%   |
| Confusion matrix for the validation sample: |                |          |        |         |       |           |
| from \ to                                   | Ciboulette     | Echalote | Oignon | Poireau | Total | % correct |
| Ciboulette                                  | 5              | 0        | 0      | 0       | 5     | 100,00%   |
| Echalote                                    | 1              | 4        | 0      | 0       | 5     | 80,00%    |
| Oignon                                      | 0              | 0        | 8      | 0       | 8     | 100,00%   |
| Poireau                                     | 0              | 0        | 0      | 2       | 2     | 100,00%   |
| Total                                       | 6              | 4        | 8      | 2       | 20    | 95,00%    |

# **ETUDE DE L'HUILE ESSENTIELLE DE NÉROLI (***Citrus aurantium L.***)** Problème de pureté



Compositions des deux huiles essentielles très proches Aucun marqueur ne permet de distinguer un ajout de petitgrain dans le néroli



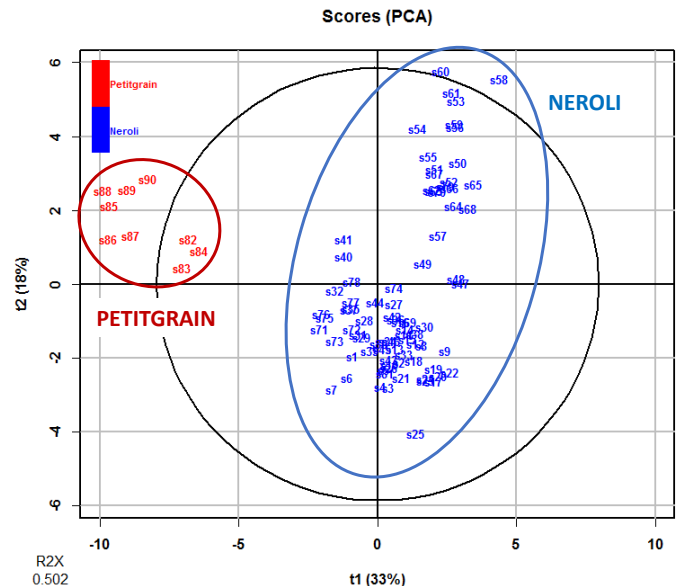
Cuchet et al., 2021. Determination of enantiomeric and stable isotope ratio fingerprints of active secondary metabolites in neroli (Citrus aurantium L.) essential oils for geographical and purity authentication. Soumis à publication

### Etude de 90 échantillons de néroli et de petitgrain

Analyse énantiomérique de 14 molecules chirales

Nombreuses molécules en concentration significative

Analyse isotopique  $\delta^{13}$ C et  $\delta^{2}$ H de 10 molecules



0.502 t1 (33%)
Cuchet et al., 2021. Determination of enantiomeric and stable isotope ratio fingerprints of active secondary metabolites in neroli (Citrus aurantium L.) essential oils for geographical and purity authentication. Soumis à publication

# ETUDE DE L'HUILE ESSENTIELLE DE NÉROLI (Citrus aurantium L.)

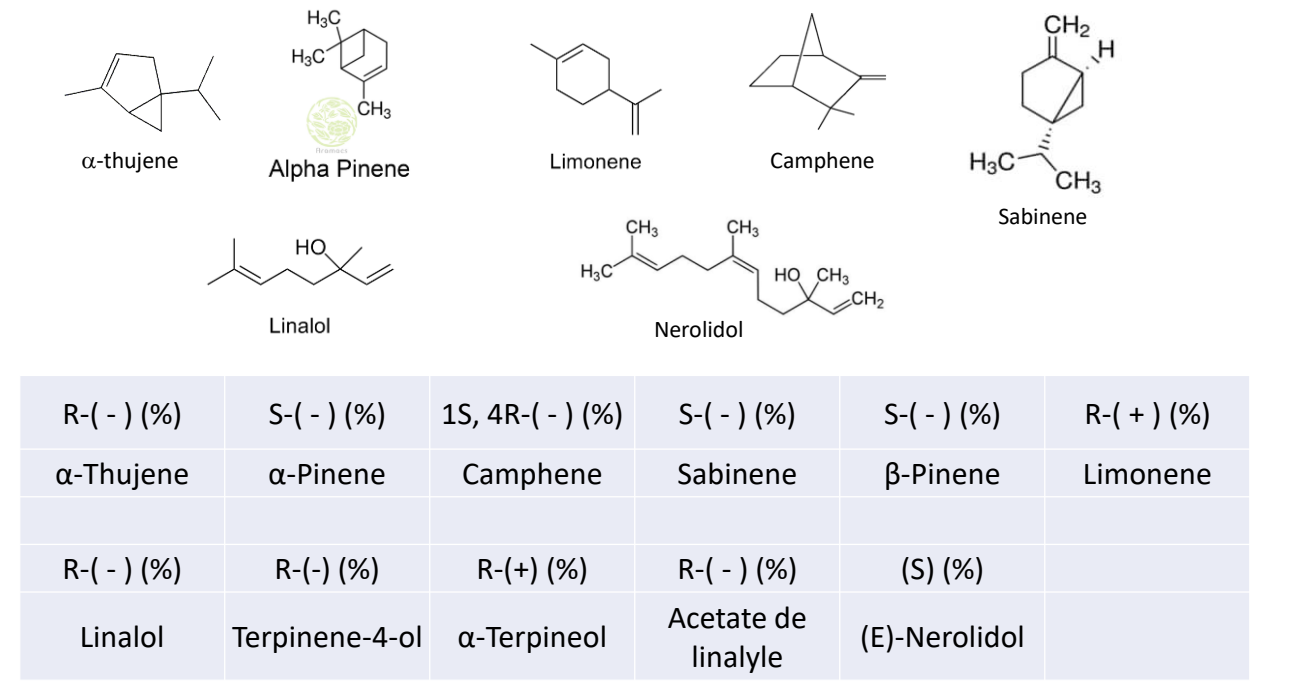
### Adultération d'un échantillon de néroli, origine Maroc

# Scores (PCA) Mise en evidence des adultérations 90% Neroli - 10 % Petitgrain 80% Neroli - 20 % Petitgrain 50% Neroli - 50 % Petitgrain 50% Neroli - 50 % Petitgrain 80% Neroli - 50 % Petitgrain 50% Neroli - 50 % Petitgrain 80% Neroli - 50 % Petitgrain

Cuchet et al., 2021. Determination of enantiomeric and stable isotope ratio fingerprints of active secondary metabolites in neroli (Citrus aurantium L.) essential oils for geographical and purity authentication. Soumis à publication

# ETUDE DE L'HUILE ESSENTIELLE DE NÉROLI

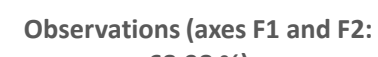
Analyses énantiosélectives

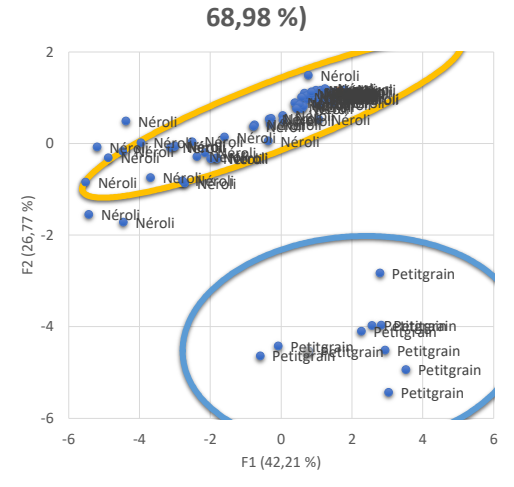


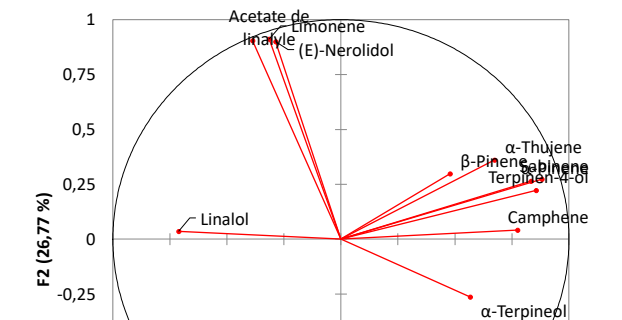
-0,5

-0,75

Séparation NEROLI/PETIGRAIN



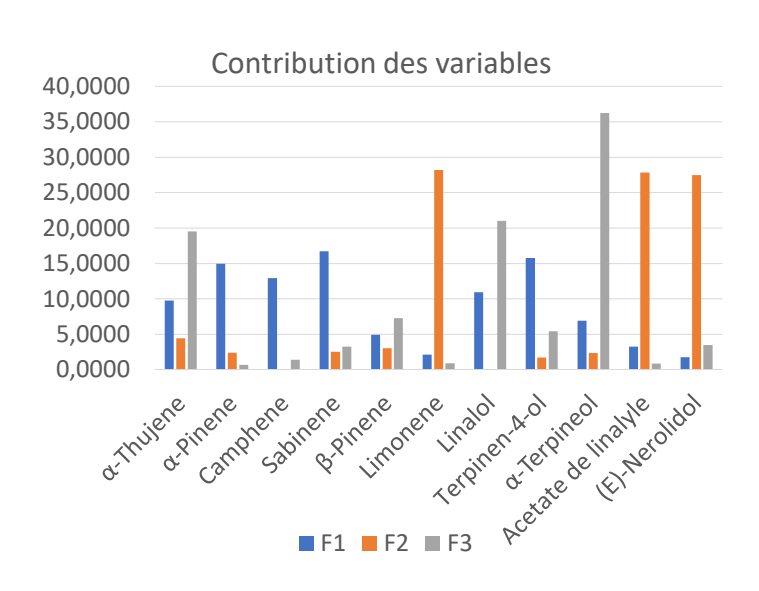


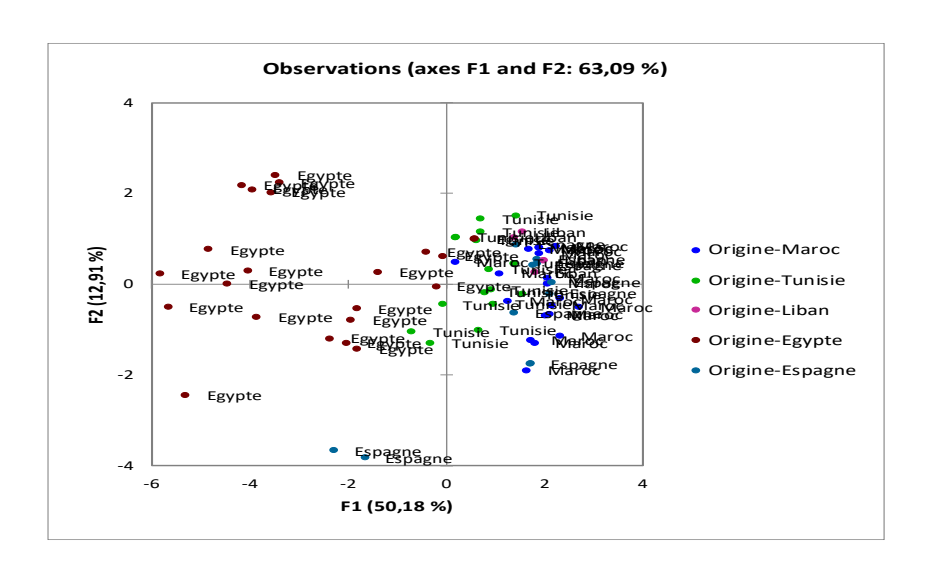


Variables (axes F1 and F2: 68,98 %)

-1 -1 -0,75 -0,5 -0,25 0 0,25 0,5 0,75 F1 (42,21 %)

Séparation NEROLI/PETIGRAIN

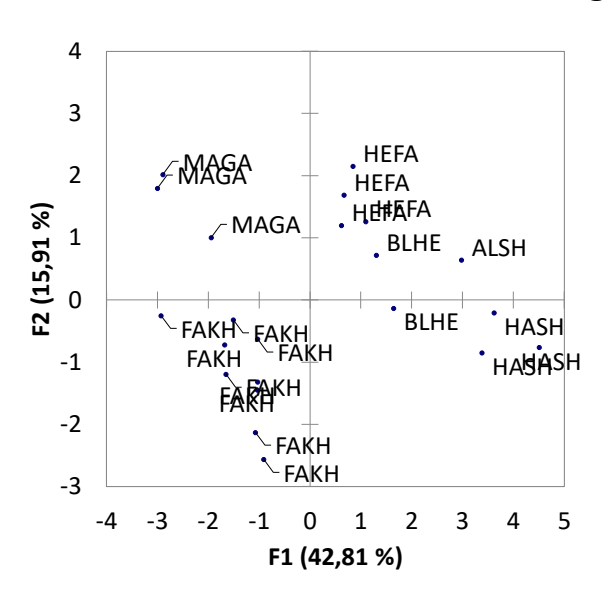




| Confusion ma | atrix for the | e estimation sample: |       |       |         |       |           |
|--------------|---------------|----------------------|-------|-------|---------|-------|-----------|
| from \ to    | Egypte        | Espagne              | Liban | Maroc | Tunisie | Total | % correct |
| Egypte       | 14            | 0                    | 0     | 0     | 0       | 14    | 100,00%   |
| Espagne      | 0             | 5                    | 0     | 0     | 0       | 5     | 100,00%   |
| Liban        | 0             | 0                    | 3     | 0     | 0       | 3     | 100,00%   |
| Maroc        | 0             | 0                    | 0     | 15    | 0       | 15    | 100,00%   |
| Tunisie      | 0             | 0                    | 0     | 0     | 9       | 9     | 100,00%   |
| Total        | 14            | 5                    | 3     | 15    | 9       | 46    | 100,00%   |

| Confusion m | atrix for th | e validation sample: |       |       |         |       |           |
|-------------|--------------|----------------------|-------|-------|---------|-------|-----------|
| from \ to   | Egypte       | Espagne              | Liban | Maroc | Tunisie | Total | % correct |
| Egypte      | 8            | 0                    | 0     | 0     | 0       | 8     | 100,00%   |
| Espagne     | 2            | 0                    | 0     | 3     | 0       | 5     | 0,00%     |
| Liban       | 1            | 0                    | 0     | 0     | 0       | 1     | 0,00%     |
| Maroc       | 0            | 0                    | 0     | 5     | 0       | 5     | 100,00%   |
| Tunisie     | 3            | 0                    | 0     | 3     | 0       | 6     | 0,00%     |
| Total       | 14           | 0                    | 0     | 11    | 0       | 25    | 52,00%    |

# ETUDE DE L'HUILE ESSENTIELLE DE NÉROLI (*Citrus aurantium L.*) Répartition des Fournisseurs NEROLI Egyptien



# CONCLUSIONS & PERSPECTIVES

59

### **CONCLUSIONS**

Approche Multianalytique

- Efficacité de l'outil analytique pour distinguer les multiples adultérations possibles: Discrimination variétale et géographique, naturalité, ...
- Complémentarité des techniques pour mettre en place un arbre de décision et améliorer le diagnostic final
- D'autres techniques sont efficaces: IR, SNIF-NMR, GC\*GC, HPTLC, ...

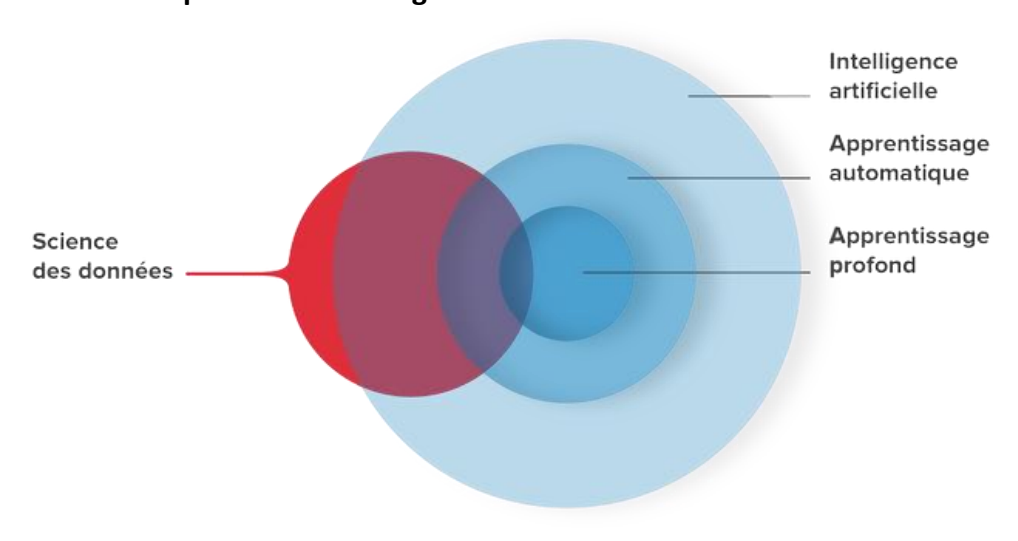
Etablissement de banques de données

- Construction de bases de données afin d'établir des critères de conformités
- Permet de rendre un verdict cohérent sur l'authenticité des matières premières.

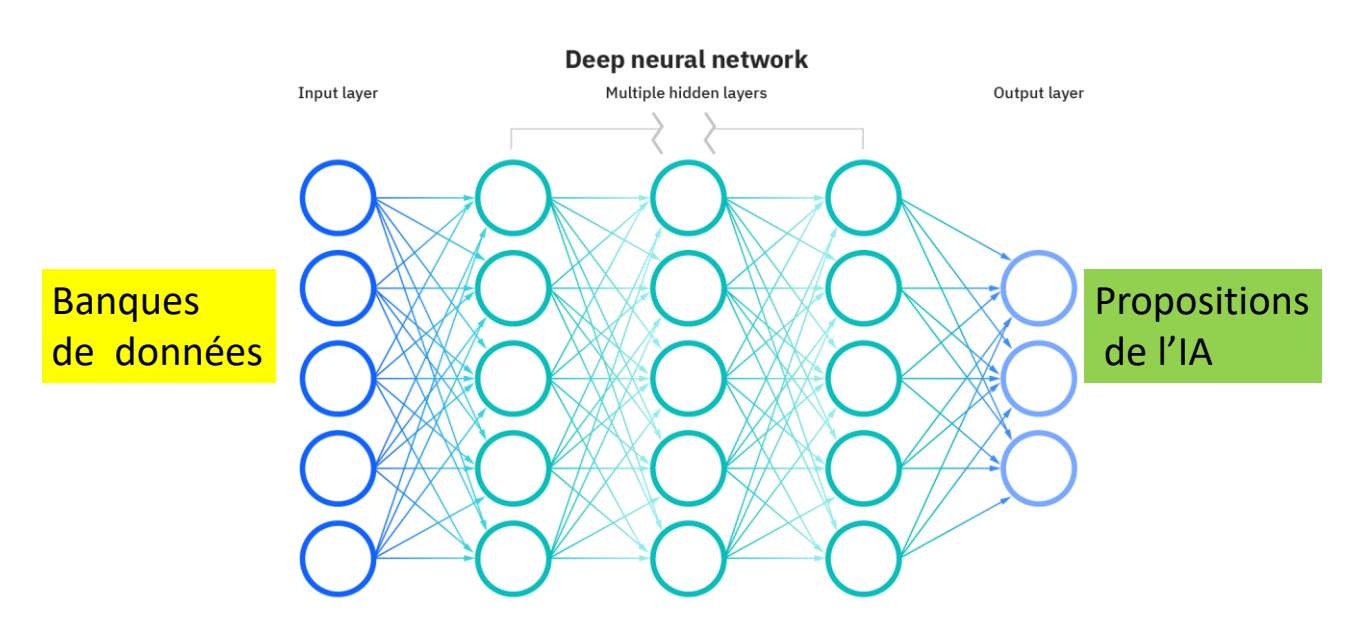
60

# **CONCLUSIONS**

La construction de **bases de données fiables et cohérentes** est une des composantes essentielles pour la mise en œuvre **de procédés d'intelligence artificielle** ...



# **PERSPECTIVES**



A suivre ...

63